

„Fizyka materii skondensowanej i struktur półprzewodnikowych”
Wykład 10 (06.05.2020)

Tomasz Kazimierczuk

Zakład Fizyki Ciała Stałego
Instytut Fizyki Doświadczalnej
Wydział Fizyki
Uniwersytet Warszawski

Na podstawie materiałów prof. M. Baja

DOMIESZKI I DEFEKTY W PÓŁPRZEWODNIKACH

Domieszki i defekty

Defekty – odstępstwa od idealnej periodycznej struktury kryształu

Klasyfikacja defektów:

- *ze względu na zawartość obcych atomów:* rodzime (niezawierające obcych atomów) i niesamoistne (np. domieszki)
- *ze względu na wymiar:*
 - punktowe – luki (np. V_{Ga} , V_{As} w GaAs), atomy międzywęzłowe (np. Ga_i), atomy antypodstawieniowe (np. As w miejscu Ga: As_{Ga}), obce atomy podstawieniowe, tzn. domieszki (np. Si_{Ga})
 - kompleksy defektów punktowych, np. pary Frenkla $V_{\text{A}} - \text{A}_i$
 - liniowe (np. dyslokacje),
 - defekty powierzchniowe (np. granice ziaren)
 - defekty objętościowe (np. wytrącenia)

Domieszki i defekty

- *ze względu na ich aktywność elektryczną*: donory (ewentualnie wielokrotne – np. As_{Ga} w GaAs jest podwójnym donorem), akceptory, domieszki izoelektronowe (np. N_{P} w GaP czy C_{Si} w krzemie)
- *ze względu na charakter (w szczególności lokalizację) funkcji falowej elektronu związanego przez defekt*:
 - **płytkie** (wodoropodobne, opisywane w przybliżeniu masy efektywnej, gdzie potencjał wiążący jest wolnozmienny – kulombowski) i
 - **głębokie**

Te ostatnie mogą dawać stany zlokalizowane leżące w przerwie energetycznej, jak i stany rezonansowe, zdegenerowane z kontinuum stanów pasmowych, ale pomimo tego mające w dużym stopniu charakter zlokalizowany – np. luki, domieszki metali przejściowych, tzw. centra DX w związkach półprzewodnikowych $\text{A}_{\text{II}}\text{B}_{\text{VI}}$ i $\text{A}_{\text{III}}\text{B}_{\text{V}}$ czy izoelektronowe domieszki N w GaAs lub GaP. Potencjał wiążący jest w dużym stopniu krótkozasięgowy.

Domieszki i defekty

Domieszki/defekty:

- wprowadzają stany zlokalizowane – zarówno w przerwie jak i stany rezonansowe
- determinują własności elektryczne półprzewodników
- mogą mieć bardzo poważny wpływ na niektóre własności optyczne (np. wydajność rekombinacji promienistej)
- prowadzą do powstawania obszarów ładunku przestrzennego (także w izolatorach)
- mogą mieć istotny, niepożądany wpływ na funkcjonowanie przyrządów półprzewodnikowych – np. dyslokacje

PŁYTKIE STANY DOMIESZKOWE W PÓŁPRZEWODNIKACH

Przybliżenie masy efektywnej

z wykładu 8

Przykład – pasmo sferyczne, paraboliczne, z minimum w $\vec{k} = 0$:

$$E(\vec{k}) = E_n(0) + \frac{\hbar^2 k^2}{2m^*}$$

prowadzi do równania:

$$\left(\frac{\hbar^2}{2m^*} (-i\nabla)^2 + U(\vec{r}) \right) \Phi_n(\vec{r}) = [E - E_n(0)] \Phi_n(\vec{r})$$

i w konsekwencji:

$$\left(-\frac{\hbar^2}{2m^*} \Delta + U(\vec{r}) \right) \Phi_n(\vec{r}) = [E - E_n(0)] \Phi_n(\vec{r})$$

jest to, formalnie rzecz biorąc, równanie Schrödingera dla kwazicząstki o masie równej masie efektywnej m^* poruszającej się w potencjale $U(\vec{r})$. Potencjał periodyczny sieci jest uwzględniony poprzez masę efektywną.

Jeśli np. $U(\vec{r})$ jest przyciągającym potencjałem domieszki, to envelope będzie funkcją zlokalizowaną

Donor stowarzyszony ze sferycznym pasmem z punktu Γ

Stan donorowy stowarzyszony ze sferycznym pasmem przewodnictwa z minimum w punkcie Γ :

- Atom domieszki o wartościowości o jeden większej niż atom podstawiany – np. Si_{Ga} w GaAs
- Potencjał domieszki – głównie kulombowski ekranowany statyczną stałą dielektryczną ϵ_s :
$$U(\vec{r}) = -\frac{e^2}{4\pi\epsilon_0\epsilon_s} \cdot \frac{1}{r}$$
- Część krótkozasięgową potencjału zaniedbujemy (przynajmniej na razie)
- Równanie masy efektywnej na funkcję envelopes $\Phi(\vec{r})$:

$$\left(-\frac{\hbar^2}{2m^*} \Delta - \frac{e^2}{4\pi\epsilon_0\epsilon_s} \cdot \frac{1}{r} \right) \Phi(\vec{r}) = [E - E_c(0)] \Phi(\vec{r})$$

gdzie $E_c(0)$ jest energią minimum pasma przewodnictwa

Donor stowarzyszony ze sferycznym pasmem z punktu Γ

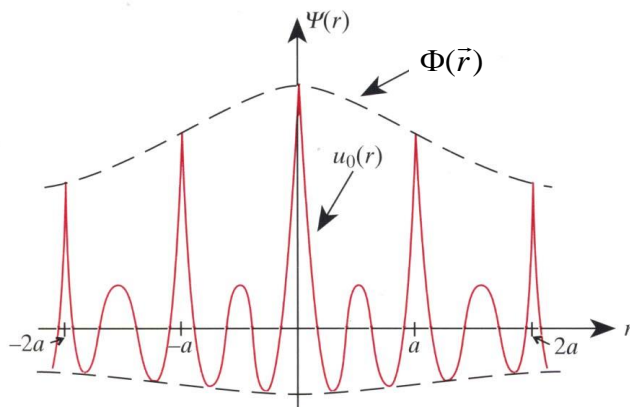
- Rozwiązanie jak dla „przeskalowanego” atomu wodoru.
Energie stanów związanych:

$$E_n = -Ry^* \cdot \frac{1}{n^2} \quad Ry^* = Ry \cdot \frac{1}{\epsilon_s^2} \left(\frac{m^*}{m_e} \right)$$

np. dla GaAs: $m^* = 0,067 m_e$, $\epsilon_s = 12,6 \Rightarrow Ry^* \approx 5,7 \text{ meV}$ – energia jonizacji donora *względem dna pasma przewodnictwa*

efektywny promień Bohra: $a_B^* = a_B \cdot \epsilon_s \left(\frac{m_e}{m^*} \right)$

co dla GaAs daje $a_B^* \approx 100 \text{ \AA}$, co stanowi około 20 stałych sieci GaAs



- Pełna funkcja falowa:
 $\Psi(\vec{r}) = \Phi(\vec{r}) \cdot u_0(\vec{r})$ – nieruchoma paczka falowa zbudowana ze stanów z okolicy $k=0$

$\Phi(\vec{r})$ – wolnozmienna envelope

$u_0(\vec{r})$ – szybkozmienna funkcja Blocha

Donor stowarzyszony ze sferycznym pasmem z punktu Γ

- Wolnozmienna envelope \Rightarrow paczka falowa zrobiona z funkcji Blocha z *małego* obszaru wokół $\vec{k} = 0$ (stan „zlokalizowany” w przestrzeni \mathbf{k})
- Równanie masy efektywnej dopuszcza rozwiązania stowarzyszone z innymi lokalnymi minimami pasma przewodnictwa (!!!) – *pod każdym z bocznych minimów (np. w punkcie X czy L) mogą być stany wodoropodobne*, które należy traktować jak stany wzbudzone.
- Część krótkozasięgowa potencjału domieszki V_{cc} wprowadza poprawkę do energii stanów (*„central cell corrections”*), zależną od atomu domieszki (tzw. przesunięcie chemiczne, *„chemical shift”*), istotną tylko dla wodoropodobnych stanów typu s:

$$\Delta E \approx \langle \Psi^* | V_{cc} | \Psi \rangle$$

- Potencjalnie możliwe związanie dodatkowego elektronu: D^- (powinowactwo elektronowe wodoru $E_{ed} = 0,75 \text{ eV} \approx 0,055 \text{ Ry}$)

Donor stowarzyszony z bocznym minimum

Stan donorowy stowarzyszony z bocznym minimum pasma przewodnictwa:

- Powierzchnie stałej energii – elipsoidy obrotowe z minimum w \vec{k}_0 :

$$\vec{k} = \vec{k}_0 + \vec{k}_\perp + \vec{k}_\parallel \quad E(\vec{k}) = E_c(\vec{k}_0) + \frac{\hbar^2}{2} \left(\frac{k_{1\perp}^2}{m_\perp^*} + \frac{k_{2\perp}^2}{m_\perp^*} + \frac{k_\parallel^2}{m_\parallel^*} \right)$$

- Równanie masy efektywnej:

$$\left[-\frac{\hbar^2}{2} \left(\frac{1}{m_\perp^*} \frac{\partial^2}{\partial x_{1\perp}^2} + \frac{1}{m_\perp^*} \frac{\partial^2}{\partial x_{2\perp}^2} + \frac{1}{m_\parallel^*} \frac{\partial^2}{\partial x_\parallel^2} \right) - \frac{e^2}{4\pi\epsilon_0\epsilon_s} \cdot \frac{1}{r} \right] \Phi(\vec{r}) = [E - E_c(\vec{k}_0)] \Phi(\vec{r})$$

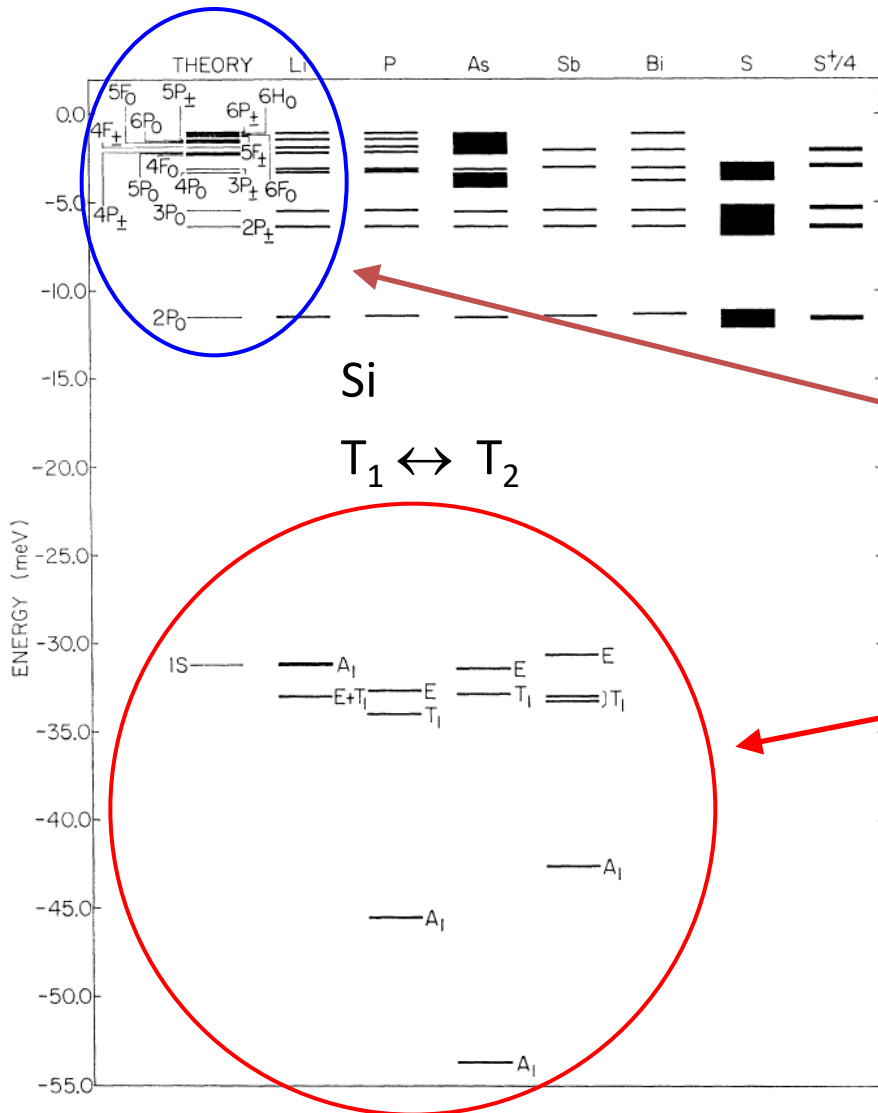
Symetria hamiltonianu – walcowa \Rightarrow będzie częściowo zniesiona degeneracja stanów wodoropodobnych !!!

- Jeśli np. chcemy znaleźć stan podstawowy, możemy zastosować metodę wariacyjną z funkcją próbną postaci:

$$\Phi(x, y, z) = (\pi a^2 b)^{-\frac{1}{2}} \cdot \exp \left[- \left(\frac{x^2 + y^2}{a^2} + \frac{z^2}{b^2} \right)^{\frac{1}{2}} \right]$$

W. Kohn, J.M. Luttinger, *Physical Review* **98**, 915 (1955)

Donor stowarzyszony z bocznym minimum



wyniki rachunków wariacyjnych *dla krzemu* – R.A. Faulkner, *Physical Review* **184**, 713 (1969) w porównaniu z danymi doświadczalnymi:

- stany wzbudzone – zupełnie nieźle
- stan podstawowy – kiepsko; *rachunek w ogóle nie przewiduje rozszczepienia stanu podstawowego!*



Donor stowarzyszony z bocznym minimum

- minimów jest 6 (a więc można byłoby oczekiwać 6-krotnej degeneracji, ale to w krysztale niemożliwe !)
- potencjał krótkozasięgowy sprzęga stany pod różnymi dolinami
- rozszczepienie (tzw. valley-orbit splitting), 6-krotna degeneracja zniesiona (1+2+3) + przesunięcie chemiczne
- funkcje falowe są odpowiednimi (reprezentacje nieprzywiedlne grupy T_d : A_1, A_2, E, T_1, T_2) kombinacjami funkcji z różnych dolin
- podobna sytuacja w innych półprzewodnikach z minimum pasma przewodnictwa poza punktem Γ (np. Ge, GaP ...)

Akceptory w półprzewodnikach o strukturze diamentu i blendy cynkowej

Akceptory w półprzewodnikach o strukturze diamentu i blendy cynkowej

znacznie bardziej skomplikowana sytuacja:

- degeneracja pasm w punkcie Γ
- pofałdowanie powierzchni izoenergetycznych („warping”)



nie da się wprowadzić prostego tensora masy efektywnej dla pasm walencyjnych, nie da się zastosować przybliżenia masy efektywnej w najprostszej postaci...

Literatura:

W. Kohn, D. Schechter, *Physical Review* **99**, 1903 (1955)

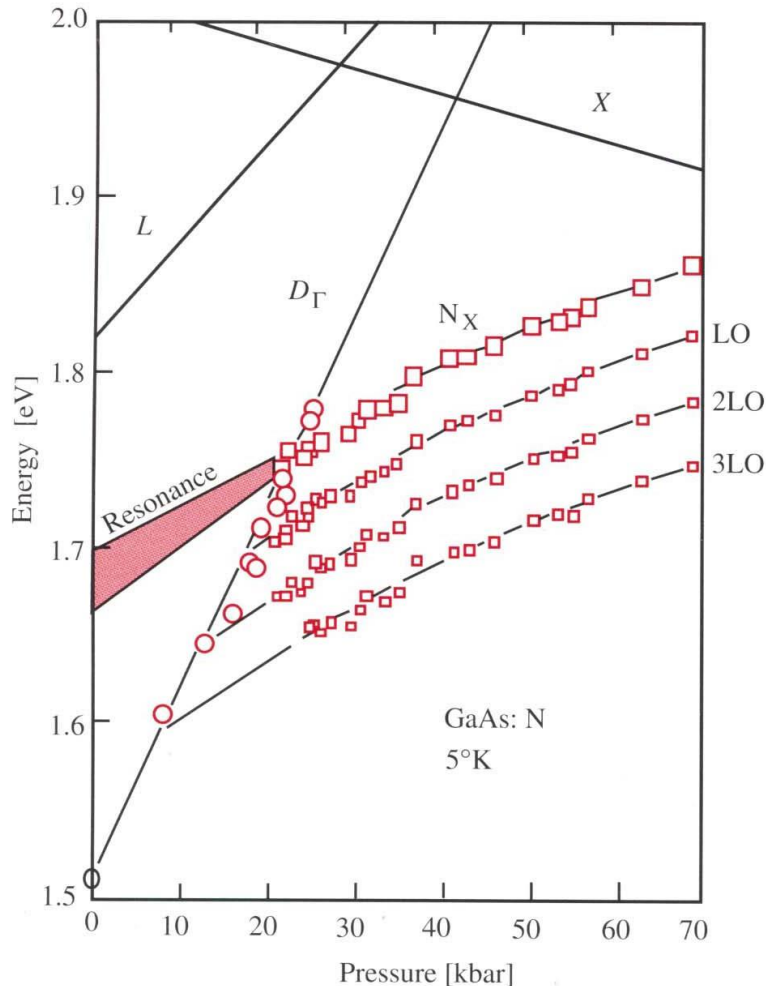
A. Baldereschi, N.O. Lipari, *Physical Review B* **8**, 2697 (1973)

A. Baldereschi, N.O. Lipari, *Physical Review B* **9**, 1527 (1974)

GŁĘBOKIE STANY DOMIESZKOWE

Głębokie stany domieszkowe

1. Funkcja falowa elektronu (elektronów) **silnie zlokalizowana**, nie da się jej utworzyć jako kombinacji liniowej funkcji Blocha z niewielkiego obszaru strefy Brillouina:



- trzeba brać całą SB i wiele pasm,
- nie można mówić o stanach „stowarzyszonych” z jakimkolwiek ekstremum pasma,
- w funkcji czynników zewnętrznych wpływających na strukturę pasmową (np. ciśnienie hydrostatyczne, mieszanie kryształów) energie tych stanów nie śledzą żadnego ekstremum, a raczej podążają za środkiem ciężkości pasma

D.J. Wolford et al., in *Physics of Semiconductors 1984*, ed. J.D. Chadi, W.A. Harrison, p. 627

Głębokie stany domieszkowe

2. Nie ma prostych, uniwersalnych metod opisu
3. Możliwe *różne stany ładunkowe* centrum domieszkowego/defektu (przykład – metale przejściowe 3d)

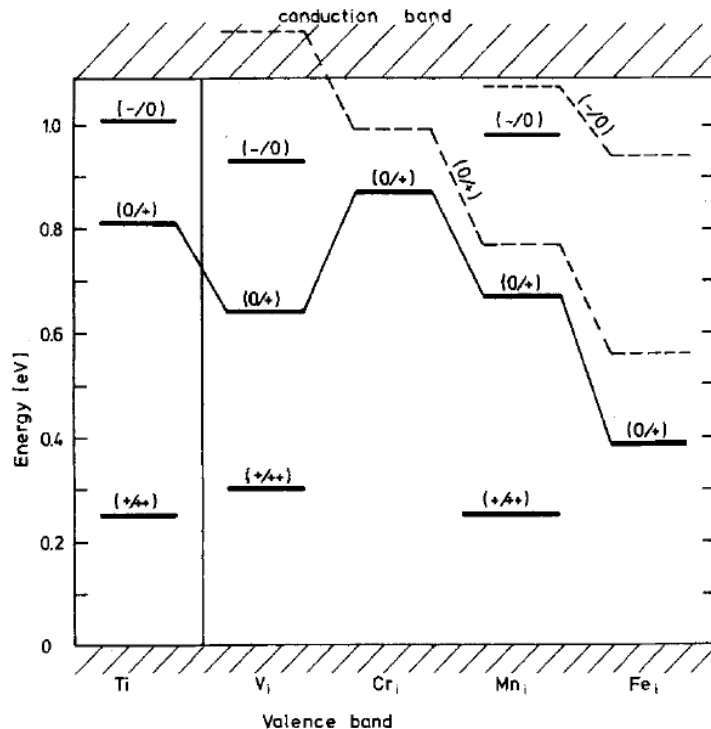


Fig. 15. Energy levels of interstitial 3d metals in silicon (full lines), see Table 3, compared with the results of X_α calculations of DeLeo et al. [15] (broken lines)

Domieszki międzywęzłowe metali przejściowych (TM) w krzemie:

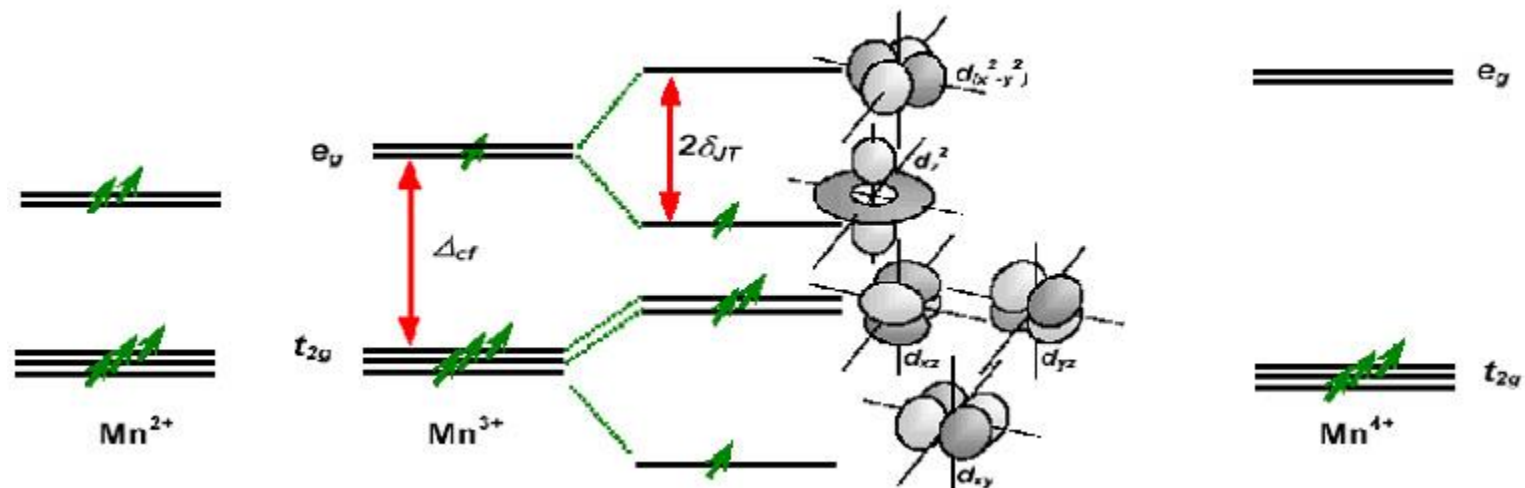
- poziomy akceptorowe i donorowe
- podobne energie poziomów dla różnych TMs

E. Weber, *Appl. Phys. A* **30**, 1 (1983)

Głębokie stany domieszkowe

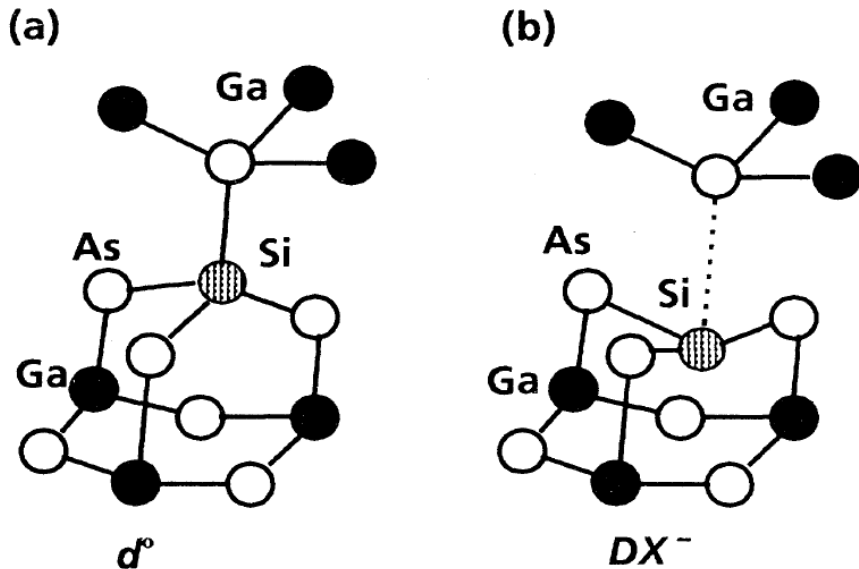
4. Lokalna symetria defektu może wynikać z bilansu energii elektronowej i energii oddziaływania z ligandami (przykład – *efekt Jahn-Tellera*)

Encyclopedia Britannica: According to the Jahn-Teller theorem, any molecule or complex ion in an electronically degenerate state will be unstable relative to a configuration of lower symmetry in which the degeneracy is absent.



Głębokie stany domieszkowe

5. Silna lokalizacja prowadzi do *dużego oddziaływania z siecią krystaliczną*:



możliwa rekonfiguracja centrum przy zmianie jego stanu elektronowego (przykład – centra DX w związkach $A_{III}B_V$ i $A_{II}B_{VI}$, defekt EL2 w GaAs)

FIG. 2. Schematic views of the normal substitutional sites and the broken-bond configurations giving rise to the DX centers in Si-doped $Al_xGa_{1-x}As$ alloys

D.J. Chadi, K.J. Chang, *Phys. Rev. B* **39**, 10063 (1989)

Głębokie stany domieszkowe

- metastabilne obsadzenia defektów elektronami
- trwałe fotoprzewodnictwo
- duże różnice między optycznymi i termicznymi energiami jonizacji

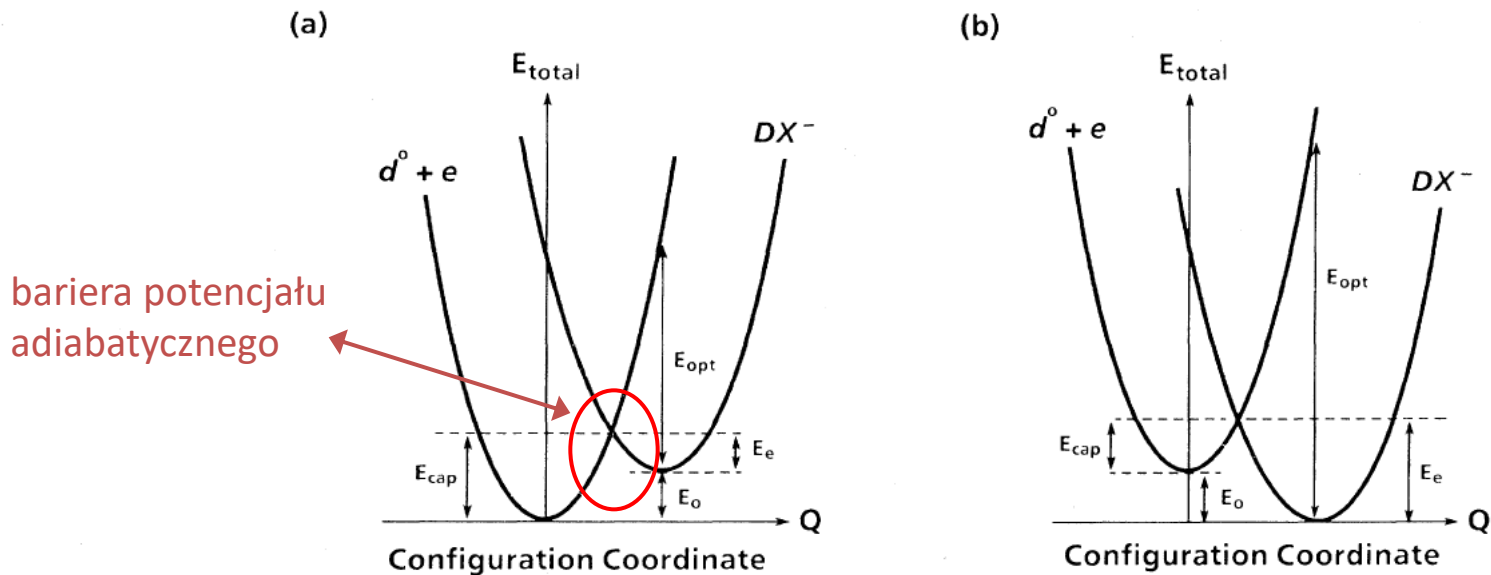


FIG. 1. Configuration-coordinate diagrams for DX centers in GaAs and typical $Al_xGa_{1-x}As$ alloys are shown in (a) and (b), respectively. The DX center is a metastable resonance in GaAs and has a higher energy than a shallow donor state (d^0). For $Al_xGa_{1-x}As$ alloys characterized by $x \geq 0.22$, DX centers are more stable than the shallow donors.

D.J. Chadi, K.J. Chang, *Phys. Rev. B* **39**, 10063 (1989)

Głębokie stany domieszkowe

6. Silne oddziaływanie z siecią może prowadzić do **ujemnej efektywnej wartości energii korelacji Hubbarda U** (tzw. „negative U ”) – ma to miejsce zarówno w przypadku centrów DX, jak i np. dla V_{Si} w Si, B_i w Si, Zn w Si

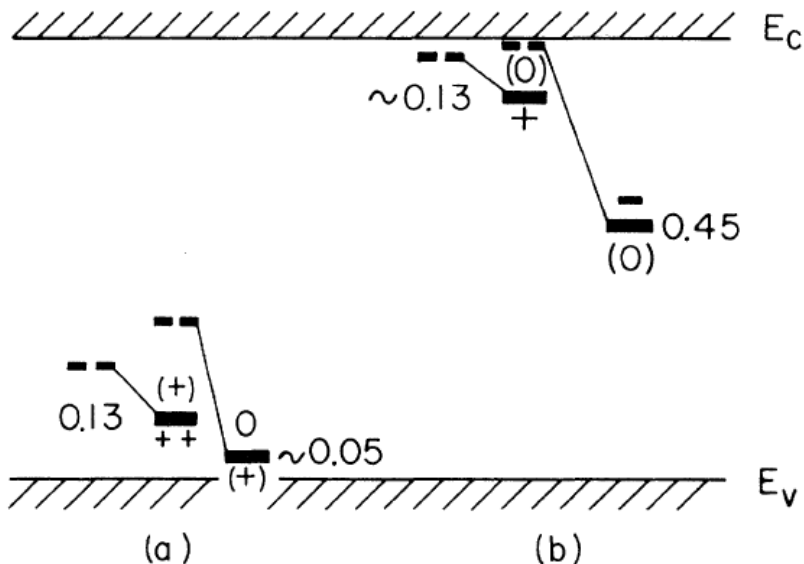


FIG. 1. (a) Suggested level positions for the isolated vacancy. Greater Jahn-Teller relaxation for the V^0 state causes a level inversion with the first donor state $(0/+)$ below the second $(+/++)$. (b) Suggested level positions for interstitial boron. Change of lattice configuration as the charge state changes from $B_i^+ \rightarrow B_i^0 \rightarrow B_i^-$ causes level inversion with the acceptor level $(-/0)$ below the donor $(0/+)$. The dashed lines indicate schematically the level positions before lattice readjustment. Level positions (in electronvolts) are denoted from the nearest band edge.

G.D. Watkins, J.R. Troxell, *Phys. Rev. Lett.* **44**, 593 (1980)

Reakcje: $2V^+ \rightarrow V^0 + V^{++}$ i $2B_i^0 \rightarrow B_i^- + B_i^+$ prowadzą do obniżenia energii układów; przy podnoszeniu poziomu Fermiego względem energii poziomów defektowych defekty te od razu wyłapują po dwa elektrony

OBSADZENIE STANÓW DOMIESZKOWYCH W STANIE RÓWNOWAGI TERMODYNAMICZNEJ

Obsadzenie poziomów domieszkowych

„Obsadzanie” stanów (nie tylko zlokalizowanych – domieszek czy defektów, ale także stanów pasmowych) elektronami oznacza **wymianę cząstek (elektronów) pomiędzy rezerwuarem i rozważanym podukładem**.



wielki zespół kanoniczny (podukład wymienia cząstki i energię z otoczeniem)



Prawdopodobieństwo termodynamiczne (nieunormowane) znalezienia podukładu w stanie j , w którym znajduje się n_j cząstek (elektronów) i w którym energia podukładu wynosi E_j (jest to całkowita energia, obejmująca wszystkie n_j cząstek):

$$P_j = e^{-\beta(E_j - n_j \mu)} \quad \beta = \frac{1}{kT} \quad \mu - \text{potencjał chemiczny}$$

Suma statystyczna:

$$Z = \sum_j P_j = \sum_j e^{-\beta(E_j - n_j \mu)}$$

Obsadzenie poziomów domieszkowych

Średnie statystyczne:

$$\langle A \rangle = \frac{\sum_j A_j e^{-\beta(E_j - n_j \mu)}}{\sum_j e^{-\beta(E_j - n_j \mu)}}$$

Przykład 1 – elektron swobodny obsadzający (lub nie)
jednoelektronowy stan o danym k i danym spinie:

możliwe 2 stany podukładu:

$$n_0 = 0; E_0 = 0$$

$$n_1 = 1; E_1 = E$$

średnia liczba cząstek podukładu:

$$\langle n \rangle =$$

Obsadzenie poziomów domieszkowych

Przykład 2 – obsadzanie przez elektrony swobodne stanu elektronowego o danym k (spin dowolny):

możliwe 4 stany podukładu:

$$n_0 = 0; E_0 = 0$$

$$n_1 = 1; E_1 = E \text{ (spin } \uparrow)$$

$$n_2 = 1; E_2 = E \text{ (spin } \downarrow)$$

$$n_3 = 2; E_3 = 2E \text{ (spiny } \uparrow \text{ i } \downarrow)$$

średnia liczba cząstek podukładu:

$$\langle n \rangle = \cdot$$

Obsadzenie poziomów domieszkowych

Poziomy domieszkowe/defektowe

stosunek prawdopodobieństw znalezienia domieszki/defektu z $n+1$ elektronami i z n elektronami:

$$\frac{p_{n+1}}{p_n} = \frac{N_{n+1}}{N_n} = \frac{\sum_{j: n_j = n+1} e^{-\beta[E_j - (n+1)\mu]}}{\sum_{k: n_k = n} e^{-\beta[E_k - n\mu]}} = \frac{g_{n+1}}{g_n} \cdot e^{-\beta[(E_{n+1} - E_n) - \mu]}$$

$$\frac{p_{n+1}}{p_n} = \frac{N_{n+1}}{N_n} = \frac{g_{n+1}}{g_n} \cdot e^{-\beta[E^{n+1/n} - \mu]}$$

$$\sum_n N_n = N$$

zapełnianie kolejnych poziomów domieszkowych przy podnoszeniu poziomu Fermiego

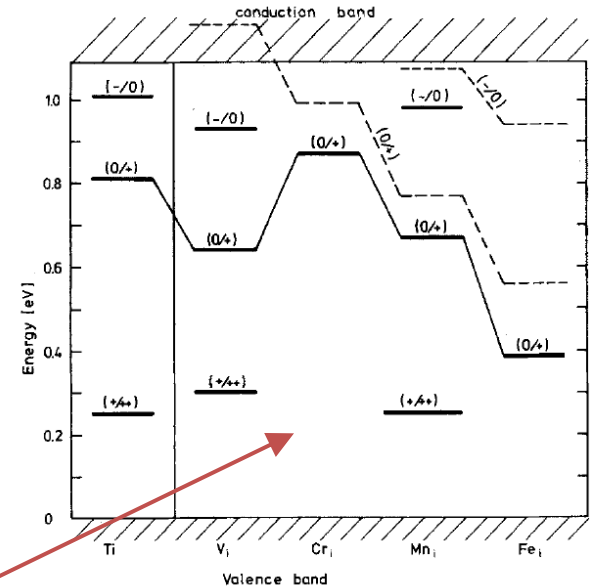


Fig. 15. Energy levels of interstitial 3d metals in silicon (full lines), see Table 3, compared with the results of X_z calculations of DeLeo et al. [15] (broken lines)

N – koncentracja domieszek

E_{n+1} i E_n – **najniższe** spośród wszystkich energii E_j podkładu odpowiednio z $n+1$ i n elektronami

Obsadzenie poziomów domieszkowych

$E^{n+1/n}$ – tzw. *energia poziomu domieszkowego/defektowego* „numerowana”
liczbami obsadzających go elektronów (stanami ładunkowymi) $n+1$ i n

g_{n+1} i g_n – tzw. *degeneracje stanów podukładu z $n+1$ i n elektronami*

Degeneracje g_{n+1} i g_n uwzględniają możliwość występowania wielu różnych stanów podukładu odpowiadających tej samej liczbie cząstek (w tym stanów wzbudzonych):

$$g_n = \alpha_{n,0} + \sum_{i=1,2,\dots} \alpha_{n,i} e^{-\beta \varepsilon_{n,i}}$$

$\alpha_{n,0}$ i $\alpha_{n,i}$ są degeneracjami odpowiednio stanu podstawowego podukładu z n elektronami oraz stanów wzbudzonych z energiami wyższymi od stanu podstawowego o $\varepsilon_{n,i}$ (energie wzbudzeń)

Tak definiowane degeneracje g_n na ogół zależą od temperatury